

ISSN 0021-3462

известия вузов  
**РАДИОФИЗИКА**

2022  
том 65

8

ИЗДАНИЕ НИЖЕГОРОДСКОГО УНИВЕРСИТЕТА  
И ИНСТИТУТА ПРИКЛАДНОЙ ФИЗИКИ РАН

УДК 520.272.2

DOI: 10.52452/00213462\_2022\_65\_08\_677

## СИНТЕЗИРОВАНИЕ СВЕРХШИРОКОПОЛОСНОГО ИМПУЛЬСА ЛОГОПЕРИОДИЧЕСКОЙ АНТЕННОЙ С НЕПРЕРЫВНЫМ ВОЗБУЖДЕНИЕМ ГАРМОНИЧЕСКИМИ КОЛЕБАНИЯМИ

*K. B. Музалевский\**

Институт физики им. Л. В. Киренского Сибирского отделения РАН, г. Красноярск, Россия

Предложен метод синтезирования сверхширокополосных импульсов с использованием векторного анализатора цепей и широкополосной приёмопередающей логопериодической антенны. Передаточная характеристика антенно-фильтрного тракта системы описывалась моделью четырёхполюсника, S-элементы матрицы которого калибровались не менее чем на двух высотах расположения антенны над отражающей поверхностью (металлическим листом). Предложенный метод калибровки передаточной характеристики логопериодической антенны позволил минимизировать амплитудно- и фазо-частотные искажения, вносимые ей в зондирующий импульс. На основе созданного метода экспериментально продемонстрирована возможность синтезирования сверхширокополосного импульса с длительностью 0,46 нс по уровню половины амплитуды огибающей (импульс содержит несколько колебаний поля) с использованием логопериодической антенны с полосой пропускания от 1,36 до 4,88 ГГц (по уровню –10 дБ). Данный метод был специально разработан для создания миниатюрных радарных систем с использованием портативных векторных анализаторов цепей и логопериодических антенн для приложений дистанционного зондирования сверхширокополосными импульсами подстилающей поверхности с борта малых беспилотных летательных аппаратов.

### ВВЕДЕНИЕ

Использование сверхширокополосных импульсных сигналов с применением методик георадарного подповерхностного зондирования и синтезирования апертуры антенн [1–3] является одним из перспективных новых направлений радарного зондирования с платформ малых беспилотных летательных аппаратов (БПЛА) влажности почв [4, 5], проводимости почвы [6], деформаций поверхности почвы (с привлечением методов радарной интерферометрии [7]), толщины и плотности снежного покрова [8, 9], возможного наличия минных полей [3, 10–12], толщины пахотного слоя [13].

В качестве передающих и приёмных сверхширокополосных антенн мегагерцового диапазона частот на малых БПЛА используются преимущественно антенны Вивальди [8, 11, 14], комбинированные Вивальди-рупорные антенны [1, 2, 5, 10] и логопериодические антенны (ЛПА) [2, 15–17]. В отличие от антенн Вивальди и комбинированных Вивальди-рупорных антенн, которые позволяют сформировать сверхширокополосный импульс, содержащий несколько колебаний поля, формируемый логопериодической антенной зондирующий импульс представляет собой радиоимпульс с уменьшающейся во времени частотой апериодических осцилляций высокочастотного заполнения [18–21]. Такая структура импульса объясняется особенностями конструкции логопериодической антенны в виде двухпроводной линии с подключенными к ней связанными симметричными вибраторами, резонирующими на различных частотах [22] (высокочастотные диполи возбуждаются раньше, чем низкочастотные). В результате происходит смещение фазового центра антенны и возникает временная задержка между излучаемыми логопериодической антенной высокочастотными и низкочастотными составляющими спектра импульса [19–22]. Формируемые логопериодической антенной радиоимпульсы содержат большое количество периодов коле-

\* rsdkm@ksc.krasn.ru

баний поля [18–21] и не являются оптимальными для подповерхностного зондирования слоистых сред [23, 24].

Вместе с тем разработанные новые конструкции антенн, аналогичных логопериодическим антннам с использованием линейного закона изменения резонансных частот соседних диполей, модифицированы таким образом, что позволяют синтезировать сверхширокополосный импульс, содержащий только несколько колебаний поля [19]. С целью минимизации амплитудно- и фазо-частотных искажений, вносимых в зондирующий импульс, также применяются дополнительные задерживающие цепочки (линии задержки) [20, 25]. В работе [26] были предложены методы калибровки фазо-частотной характеристики (ФЧХ) антенн для компенсации частотной дисперсии положения фазового центра логопериодической антенны в полосе частот от 400 до 1 200 МГц. При этом методом моностатической локации в надир измерялись времена задержки трёх импульсов, отражённых от металлического экрана, которые были синтезированы логопериодической антенной с применением полосовых фильтров в диапазонах частот 500÷750 МГц, 750÷1 000 МГц и 1 000÷1 200 МГц, когда антenna располагалась на фиксированной высоте над металлическим экраном. Измеренные временные задержки отражённых импульсов пересчитывались в кажущиеся высоты положения антennы над металлическим листом. Найденные значения кажущихся высот использовалась для оценки смещения положения фазового центра антенн в зависимости от частоты [26].

В отличие от существовавших подходов, в данной работе предлагается оригинальный способ формирования логопериодической антенной сверхширокополосного импульса, содержащего несколько колебаний поля, с реализацией идей, развитых в работах [27, 28]. В работе [27] использовалась сверхширокополосная антenna без существенной дисперсии ФЧХ в рабочем диапазоне частот (400÷3 440 МГц), а корректировка амплитудно-частотной характеристики (АЧХ) и ФЧХ не проводилась. В работе [28] наносекундный видеоимпульс синтезировался с помощью последовательности 4 радиоимпульсов на кратных частотах, амплитуды и временные задержки которых корректировались для устранения неравномерности АЧХ и ФЧХ приёмопередающей антенной системы, выполненной в виде широкополосных дипольных антенн. Приведённый выше анализ показывает, что вопрос о возможностях формирования сверхширокополосных импульсов логопериодической антенной с использованием методов калибровки антенно-фидерного тракта системы без дополнительного внесения изменений в конструкцию антенн остается малоизученным.

## 1. МОДЕЛЬ И МЕТОД КАЛИБРОВКИ ПРИЁМОПЕРЕДАЮЩЕЙ АНТЕННЫ

С целью калибровки передаточной характеристики приёмопередающей логопериодической антенн [15] реализуем моностатическую схему радарного зондирования. Максимум диаграммы направленности антенну ориентируем в надир и поместим её на некоторой высоте  $d_p$  над поверхностью почвы ( $p = 1, \dots, N_h$ , где  $N_h$  – количество положений антеннны в измерениях). Высоту  $d_p$  будем соотносить с положением фазового центра антеннны, усреднённым в некотором диапазоне частот её полосы пропускания. Антенно-фидерный тракт будем представлять в виде четырёхполюсника [29, 30], элементы  $S$ -матрицы которого обеспечивают связь между комплексными амплитудами падающей и отражённых волн в плоскости входного соединения антеннны. В качестве генерирующего и регистрирующего устройства будем использовать векторный анализатор цепей. В этом случае измеряемый анализатором в калибровочной плоскости (которая совпадает с плоскостью входного соединения антеннны) коэффициент отражения  $r(f, d_p)$  от антеннны может быть представлен в виде [29, 30]

$$r(f, d_p) = r_0(f) + \frac{G(f, d_p)H(f)}{1 - S_{22}(f)G(f, d_p)}, \quad (1)$$

где  $r_0(f)$  — коэффициент отражения от антенны при её размещении в свободном пространстве (см. рис. 1),  $f$  — частота электромагнитного поля,  $H(f)$  — комплексная передаточная функция антенны,  $S_{22}$  — коэффициент отражения волны (в сторону направленного излучения антенны) от плоскости, проходящей через фазовый центр антенны,  $G(f, d_p)$  — передаточная функция зондируемого полупространства с точечным источником, расположенным на высоте  $d_p$  над плоской границей воздух–среда. Передаточная функция  $G(f, d_p)$  в модели (1) может быть представлена в форме

$$G(f, d_p) = R(f)g(f, d_p), \quad g(f, d_p) = \frac{1}{4\pi} \frac{\exp(4\pi i f d_p/c)}{2d_p}, \quad (2)$$

где  $i$  — мнимая единица,  $g(f, d_p)$  — трёхмерная скалярная функция Грина [31, 32],  $R(f)$  — коэффициент отражения Френеля плоской волны, падающей нормально на границу раздела воздух–почва,  $c$  — скорость света в вакууме.

В отличие от процесса калибровки антенн [29, 30], в модели (1) и (2) сферическая расходимость волнового фронта излучаемой и принимаемой волны учитывается с помощью скалярной функции Грина  $g(f, d_p)$ . С другой стороны, если пренебречь константами, связанными с амплитудой точечного источника, модель (2) соответствует точному аналитическому выражению для функции Грина горизонтального электрического диполя, расположенного на высоте  $d_p$  над диэлектрическим полупространством, полученному в дальней зоне [20, 33] (выполнение условий дальней зоны всегда имеет место для высот полета БПЛА). Такое упрощение точного аналитического выражения функции Грина позволяет предложить оригинальный (по отношению к работам [29, 30]) метод калибровки параметров модели (1) и (2).

При размещении логопериодической антенны в свободном пространстве ( $G(f, d_p) = 0$ , при  $d_p \rightarrow \infty$ ) может быть измерен коэффициент отражения  $r_0(f)$ . Обозначим его для краткости  $r_0$ . В данной работе  $r_0$  измерялся на большой уличной площадке при размещении антенны на высоте нескольких метров над грунтом с невысокой травой при ориентации максимума диаграммы направленности антенны в зенит. Далее, измеряя коэффициенты отражения  $r_1 = r(f, d_1)$  и  $r_2 = r(f, d_2)$  для двух произвольных положений высот фазового центра антенны над металлическим экраном  $d_1$  и  $d_2$ , можно получить выражение для отношения приведённых коэффициентов отражения в виде

$$\Delta_{12} \equiv \frac{r_1 - r_0}{r_2 - r_0} = \frac{d_2}{d_1} \exp[4\pi f i (d_2 - d_1)/c]. \quad (3)$$

При выводе соотношения (3) пренебрегалось переотражением волн между антенной и зондируемым полупространством и в формуле (1) полагалось  $S_{22} \approx 0$ . Соотношение (3) не зависит ни от передаточной функции  $H(f)$ , ни от коэффициента отражения  $R(f)$ , что позволяет определить  $d_1$  и  $d_2$  из решения системы нелинейных уравнений:

$$d_2/d_1 = |\Delta_{12}|, \quad d_2 - d_1 = \frac{c}{4\pi f} \arg \Delta_{12}, \quad (4)$$

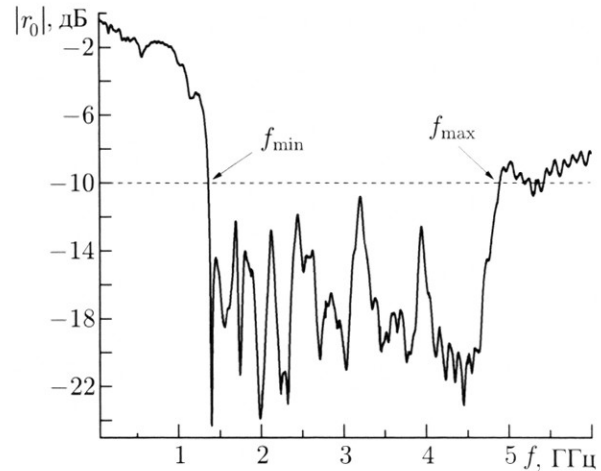


Рис. 1. Коэффициент отражения от логопериодической антенны при её размещении в свободном пространстве ( $f_{\min} = 1,36$  ГГц,  $f_{\max} = 4,88$  ГГц)

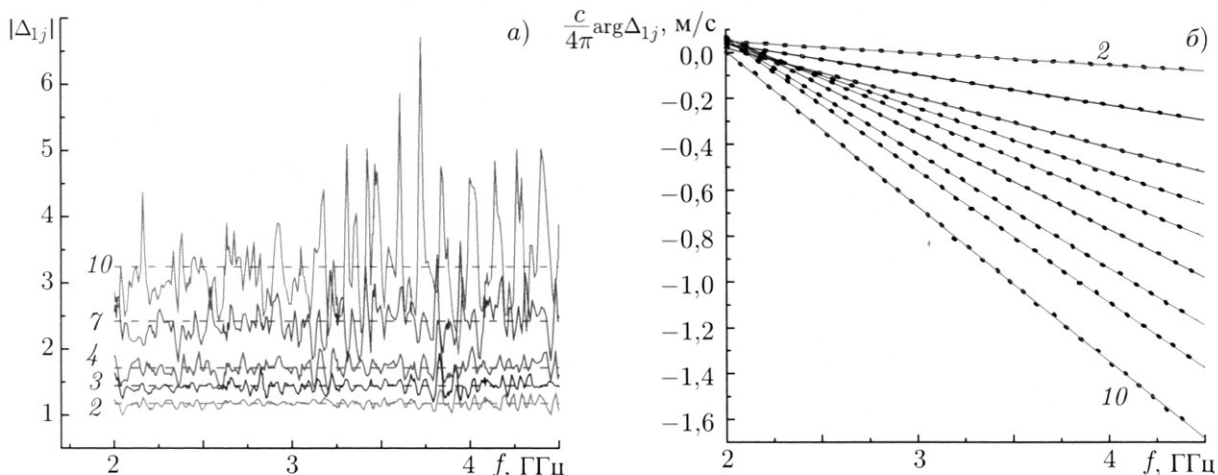


Рис. 2. Абсолютное значение  $|\Delta_{1j}|$  (а) и абсолютная фаза  $c/(4\pi) \arg \Delta_{1j}$  (б) отношения приведённых коэффициентов отражения, измеренных на высотах  $h_j$  ( $h_2 = 0,31$  м,  $h_3 = 0,391$  м,  $h_4 = 0,475$  м,  $h_5 = 0,54$  м,  $h_6 = 0,604$  м,  $h_7 = 0,678$  м,  $h_8 = 0,757$  м,  $h_9 = 0,83$  м,  $h_{10} = 0,932$  м) относительно высоты  $h_1 = 0,26$  м. На панели а сплошные линии отвечают измерениям, штриховые — средним значениям, на панели б маркеры соответствуют измерениям, сплошные линии — линейной регрессии. Номера кривых соответствуют номеру высоты  $h_j$

где  $|\Delta_{12}|$  и  $\arg \Delta_{12}$  — модуль и фаза отношения приведённых коэффициентов отражения (3) соответственно.

Оценка  $d_2/d_1$  и  $d_2 - d_1$  в данной работе проводилась в среднем для всего рабочего диапазона частот логопериодической антенны. При нахождении разницы  $d_2 - d_1$  рассчитывалась абсолютная («развёрнутая») фаза  $c \arg \Delta_{12}/(4\pi)$ . Оставшаяся неизвестная передаточная функция  $H(f)$  находится из уравнений (1) и (2) как

$$H(f) = \frac{H_1(f) + H_2(f)}{2}, \quad H_1(f) = \frac{r_1 - r_0}{G(f, d_1)}, \quad H_2(f) = \frac{r_2 - r_0}{G(f, d_2)}, \quad (5)$$

при условии  $R(f) \equiv -1$  в (2). С целью оценки средних значений и доверительных интервалов вариаций величин  $H(f)$  и  $d_p$  в модели (1), (2) коэффициент отражения  $r(f, d_p)$  измерялся для набора различных высот расположения антенны над металлическим экраном  $d_p$ . Путём попарной комбинации измеряемых коэффициентов отражения  $r_k$  и  $r_j$  на  $k$ -й и  $j$ -й высотах соответственно из составленных систем уравнений (3)–(5) могут быть найдены средние значения положения высот фазовых центров антенны и среднее значение комплексной передаточной функции  $H(f)$ .

## 2. ПРОЦЕДУРА КАЛИБРОВКИ ПРИЁМОПЕРЕДАЮЩЕЙ АНТЕННЫ

Коэффициент отражения от антенны измерялся в диапазоне частот от 1 до 5 ГГц с использованием векторного анализатора цепей Agilent FieldFox 9927A, подключённого к логопериодической антенне через коаксиальный переход N-SMA и коаксиальный кабель с длиной 20 см. Перед проведением измерений анализатор прогревался в течение 30 мин, затем калибровался с использованием механического набора (полный 2-портовый калибратор Agilent 85518A, Тип-N 50 Ом). В качестве примера на рис. 2 приведены абсолютное значение  $|\Delta_{1j}|$  и абсолютная (развёрнутая) фаза  $c \arg \Delta_{1j}/(4\pi)$  отношения приведённых коэффициентов отражения, измеренных на высотах  $d_2, \dots, d_{10}$  относительно высоты  $d_1$ . Соответствующие высоты положения антенны  $h_j$  относительно её нижнего края были равны 0,260; 0,310; 0,391; 0,475; 0,540; 0,604; 0,678; 0,757; 0,830; 0,932 м

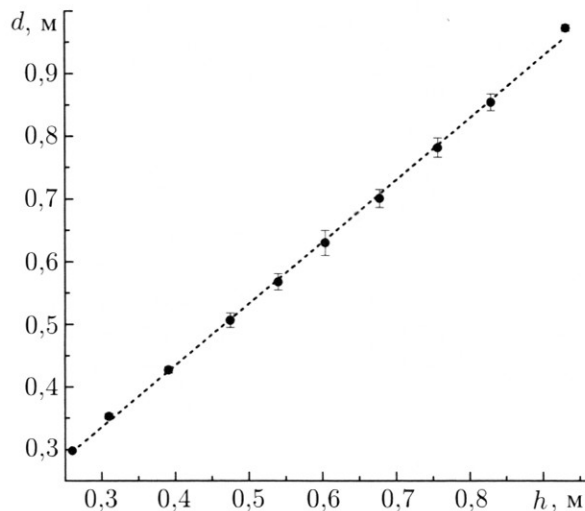


Рис. 3. Зависимость высоты положения фазового центра антенны  $d$  над металлическим листом от расстояний  $h$  от металлического листа до нижнего края антенны. Маркеры соответствуют измеренным значениям  $d_p$  и высотам  $h_p$ ,  $p = 1, \dots, 10$  (также указаны доверительные интервалы 95 %), пунктирная линия соответствует линейной регрессии с уравнением  $d[\text{м}] = (0,040 \pm 0,006) + (0,986 \pm 0,010)h[\text{м}]$ . Коэффициент детерминации линейной регрессии  $R^2 = 0,999$ , среднеквадратичное отклонение СКО =  $6,9 \cdot 10^{-3}$  м

для  $j = 1, \dots, 10$  соответственно.

В соответствии с предложенной методикой для всех возможных комбинаций неповторяющихся пар ( $k \neq j$ ) коэффициентов отражения  $r_k$  and  $r_j$ , измеренных при соответствующих высотах положений антенны  $h_k$  и  $h_j$ , были найдены средние значения положений фазовых центров антенны  $d_k$  и  $d_j$ , где  $k, j = 1, \dots, 10$  (см. рис. 3). Фазовый центр антенны в среднем в частотном диапазоне от 2,0 до 4,5 ГГц смешён от переднего края антенны (со стороны направленного излучения) на расстояние  $4,0 \pm 0,6$  см к её центру (см. рис. 3). На основе формулы (5) с использованием найденных высот положений фазовых центров антенны  $d_j$  для каждого измеренного коэффициента отражения  $r_j$  найдено соответствующее значение  $H_j(f)$ . В результате были оценены модуль среднего значения  $|\langle H(f) \rangle|$  и среднее значение абсолютной фазы  $\langle \arg H(f) \rangle$  комплексной передаточной функции  $H(f)$  антенны (см. рис. 4). На границах полосы пропускания антенны (1,36–4,88 ГГц) величина  $|\langle H(f) \rangle|$  значительно уменьшается при увеличении коэффициента отражения от антенны  $|r_0(f)|$  (и наоборот). При этом области локальных минимумов  $|\langle H(f) \rangle|$  и локальных максимумов  $|r_0(f)|$  совпадают. С целью выравнивания АЧХ и ФЧХ приёмопередающей логопериодической антенны при синтезировании сверхширокополосного импульса был использован метод инверсной фильтрации [28, 34], обеспечивающий максимум отношения сигнала к среднеквадратическому значению шума:

$$W_\alpha(f) = \frac{K_\alpha(f)}{\langle H(f) \rangle}, \quad (6)$$

где  $K_\alpha(f)$  — спектр функции окна Чебышёва,  $\alpha$  — уровень пульсаций (в дБ) за пределом полосы пропускания  $K_\alpha(f)$ . Функция окна Чебышёва [35] использовалась для обеспечения минималь-

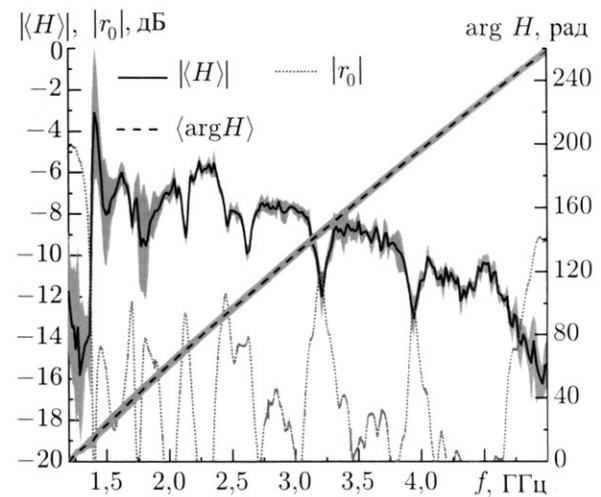


Рис. 4. Модуль среднего значения  $|\langle H(f) \rangle|$  и среднее значение абсолютной фазы  $\langle \arg H(f) \rangle$  комплексной передаточной функции приёмопередающей антенны. Серыми полосами обозначены доверительные интервалы (95 %). Также показан модуль коэффициента отражения от антенны при её размещении в свободном пространстве  $|r_0(f)|$

ной длительности синтезируемых импульсов (при заданной ширине спектра) и снижения уровня шумов относительно главной части импульса.

### 3. ПРИМЕНЕНИЕ МЕТОДА КАЛИБРОВКИ ЛОГОПЕРИОДИЧЕСКОЙ АНТЕННЫ ДЛЯ СИНТЕЗА СВЕРХШИРОКОПОЛОСНЫХ ИМПУЛЬСОВ. ОБСУЖДЕНИЕ ЭКСПЕРИМЕНТАЛЬНЫХ РЕЗУЛЬТАТОВ

Проведённая калибровка антенны позволяет с помощью амплитудной и фазовой коррекций с использованием комплексной передаточной функции  $\langle H(f) \rangle$  устранить искажения, вносимые антенной в спектр излучаемых и принимаемых сверхширокополосных импульсов. На основе модели (1) и (2) и преобразования Фурье можно получить выражение для расчёта сигнала  $\dot{s}(t, d_p)$  сверхширокополосного импульса, синтезируемого с использованием логопериодической антенны:

$$\dot{s}(t, d_p) = \int_{f_{\min}}^{f_{\max}} \exp(-2\pi i f t) [r(f, d_p) - r_0(f)] W_\alpha(f) df, \quad (7)$$

где  $t$  — время,  $f_{\min}$  и  $f_{\max}$  — минимальная и максимальная частоты в спектре синтезируемого сверхширокополосного импульса соответственно. Интеграл (7) вычислялся с использованием интерполяционной квадратурной формулы Гаусса [36]. При этом интервал интегрирования разбивался на 20 отрезков, на каждом из которых применялись квадратуры Гаусса с 24 узлами [36]. Данное количество разбиений обеспечивало абсолютную погрешность вычисления интеграла (7) на временному интервале от 0 до 20 нс не более, чем  $10^{-2}$ . Окончательно временная форма  $s(t, d_p)$  и верхняя огибающая  $s^a(t, d_p)$  синтезируемого сверхширокополосного импульса могут быть рассчитаны как

$$\dot{s}(t, d_p) = 2\text{Re } \dot{s}(t, d_p), \quad s^a(t, d_p) = 2|\dot{s}(t, d_p)|. \quad (8)$$

Уравнения (7) и (8) реализуют метод синтеза сверхширокополосных импульсов с корректировкой АЧХ и ФЧХ антенны.

Для тестирования предложенного выше способа синтезирования сверхширокополосных импульсов был измерен коэффициент отражения  $r(f, d_p)$  от слоя воздушно-сухого песка с толщиной 23,5 см, расположенного на металлическом листе, в случаях, когда слой песка накрывался и не накрывался металлическим листом ( $1,5 \times 1,5$  м). Песок с объёмной влажностью 1–2 % и плотностью 1,46 г/см<sup>3</sup> был размещён в квадратном деревянном ящике со сторонами около 2 м. При зондировании в надир нижний торец антенны размещался на различных высотах над границей воздух–песок или воздух–металлический экран.

В качестве примера на рис. 5 приведены временные формы импульсов  $s(t, d_1 = 0,3 \text{ м})$  и  $s^a(t, d_1 = 0,3 \text{ м})$ , рассчитанные на основе формул (6)–(8) с корректировкой и без корректировки ( $W_\alpha(f) \equiv 1$ ) АЧХ и ФЧХ антенны. При вычислении функции окна Чебышёва  $K_\alpha(\omega)$  уровень пульсаций вне полосы пропускания от  $f_{\min} = 1,36$  ГГц до  $f_{\max} = 4,88$  ГГц задавался равным  $\alpha = -55$  дБ. Длительность синтезированного сверхширокополосного импульса с использованием логопериодической антенны и созданного метода составила 0,46 нс (по уровню половины амплитуды огибающей импульса) при уровне шумов вне главной части импульса порядка –40 дБ. Использование корректировки АЧХ и ФЧХ антенны позволяет, более чем в 5 раз сократить длительность синтезируемого сверхширокополосного импульса по сравнению с радиоимпульсом, сформированным без корректировки (см. рис. 5). Синтезированные на основе созданного метода временные формы огибающих сверхширокополосных импульсов, отражённых от слоя песка

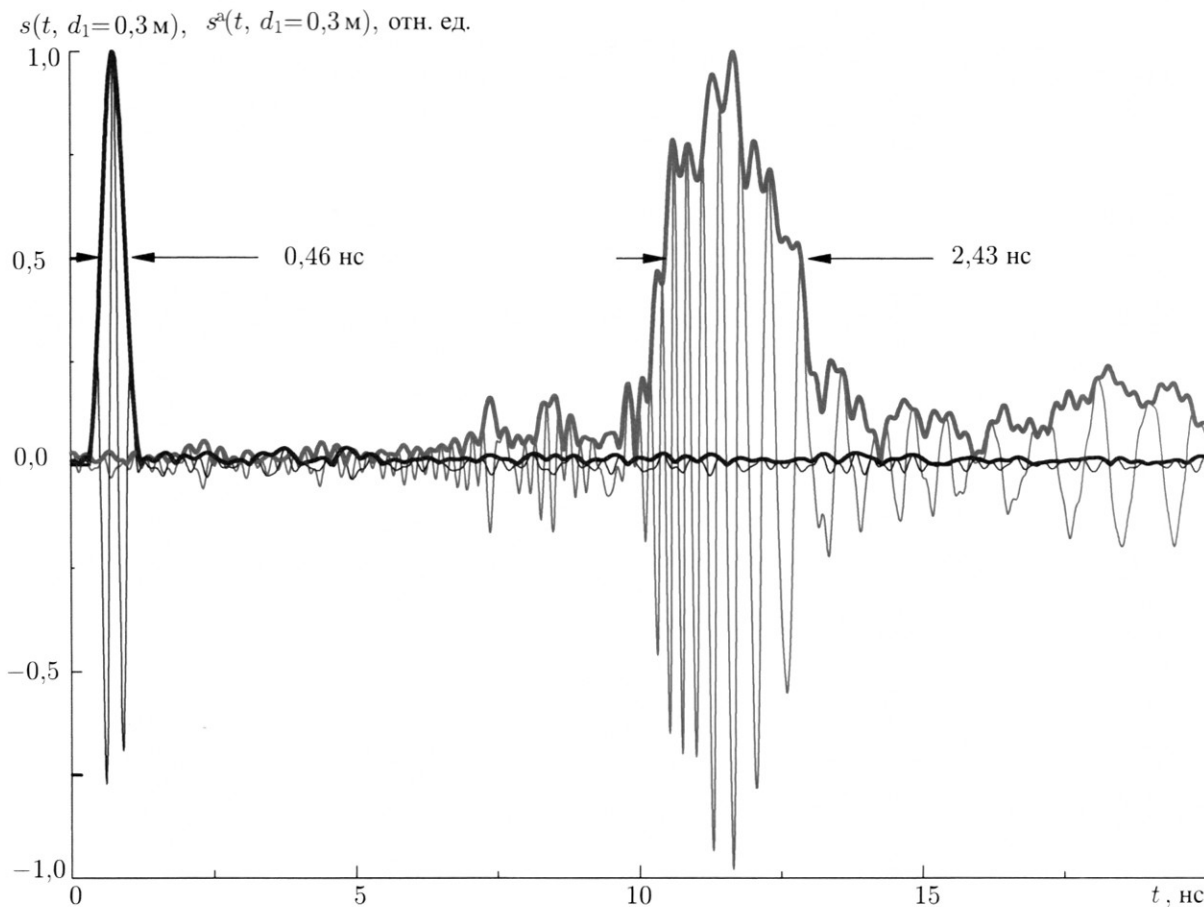


Рис. 5. Временные формы (тонкие линии) и огибающие (толстые линии) зондирующих импульсов до (красные кривые) и после (синие кривые) корректировки АЧХ и ФЧХ логопериодической антенны, нормированные на максимумы амплитуд огибающих соответствующих импульсов

и слоя песка, накрытого металлическим листом, показаны на рис. 6 (высота положения антенны  $d_4 = 0,515 \text{ м}$ ). Времена прихода сверхширокополосных импульсов, отражённых от границы воздух–металлический экран (см. рис. 6, кривая 1) и воздух–песок (см. рис. 6, кривая 2) примерно равны  $2,95 \pm 0,01 \text{ нс}$ . Время прихода сверхширокополосного импульса, отражённого от нижней границы слоя песка (см. рис. 6, кривая 3) равно  $6,00 \text{ нс}$ . Значение показателя преломления 1,82, рассчитанное по времени распространения импульса  $\Delta t = 3,05 \text{ нс}$  внутри слоя песка при известной его толщине, оказалось близко к показателю преломления песка 1,74, измеренному коаксиально-волноводным методом [37] на средней частоте зондирующего импульса. Хорошее совпадение этих оценок также подтверждает работоспособность предложенного метода синтеза сверхширокополосных импульсов.

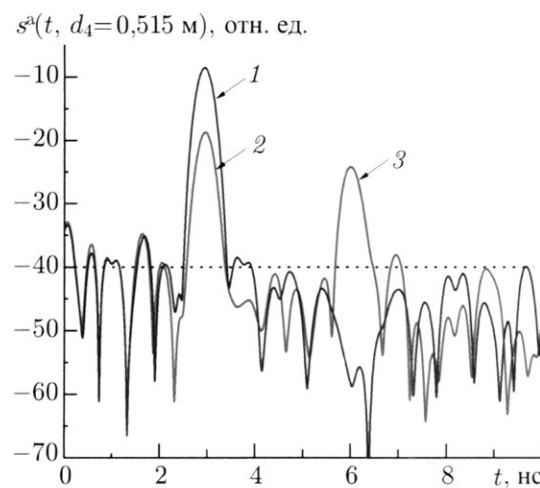


Рис. 6. Огибающие импульсов, отражённых от слоя песка, накрытого металлическим листом (1), и без металлического листа (2 и 3)

## 5. ЗАКЛЮЧЕНИЕ

В данной работе с использованием векторного анализатора цепей и приёмопередающей широкополосной логопериодической антенны с полосой пропускания от 1,36 до 4,88 ГГц (по уровню  $-10$  дБ) разработан способ синтезирования сверхширокополосного импульса с длительностью 0,46 нс (по уровню половины амплитуды огибающей), содержащего полтора периода колебания поля. Предложенный метод синтеза сверхширокополосных импульсов не требует внесения изменений в конструкцию логопериодической антенны и может быть реализован в виде дополнительной программной калибровки антенно-фидерного тракта. Метод может быть использован для приложений дистанционного зондирования сверхширокополосными импульсами подстилающей поверхности с борта малых БПЛА с использованием портативных векторных анализаторов цепей, аналогичных [38].

Работа выполнена при поддержке Российского научного фонда и Красноярского краевого фонда науки (проект 22-17-20042).

## СПИСОК ЛИТЕРАТУРЫ

1. Schartel M., Burr R., Mayer W., et al. // IEEE MTT-S Intern. Conf. Micr. Intel. Mob. 2018. 15–17 April 2018. Munich, Germany. <https://doi.org/10.1109/ICMIM.2018.8443503>
2. Schartel M., Prakasan K., Hügler P., et al. // IEEE Intern. Geoscience and Remote Sensing Symposium, 22–27 July 2018, Valencia, Spain. P. 8420–8423. <https://doi.org/10.1109/IGARSS.2018.8518905>
3. García Fernández M., Àlvarez-López Y., Arboleya A.A., et al. // IEEE Access. 2018. V. 6. P. 45 100–45 112. <https://doi.org/10.1109/ACCESS.2018.2863572>
4. Moghaddam M., Prager S., Melebar A., et al. // Earth Science Technology Forum, 24 June 2021. Online. [https://esto.nasa.gov/forums/estf2021/Presentations/June24/Moghaddam\\_GPR\\_ESTF2021.pdf](https://esto.nasa.gov/forums/estf2021/Presentations/June24/Moghaddam_GPR_ESTF2021.pdf)
5. Wu K., Rodriguez G. A., Zajcet M., et al. // Remote Sensing Environment. 2019. V. 235. Art. no. 111456. <https://doi.org/10.1016/j.rse.2019.111456>
6. Wu K., Jacquemin E., Palt L., et al. // NSG2021 27th European Meeting Environmental and Engineering Geophys., 29 August–2 September 2021. Online. <https://doi.org/10.3997/2214-4609.202120117>
7. Luebeck D., Wimmer C., Moreira L. F., et al. // Remote Sensing. 2020. V. 12, No. 5. Art. no. 778. <https://doi.org/10.3390/rs12050778>
8. Jenssen R. O. R., Jacobsen S. K. // Remote Sens. 2021. V. 13. Art. no. 2610. <https://doi.org/10.3390/rs13132610>
9. Музалевский К. В. // Журнал радиоэлектроники. 2021. № 8. С. 1–16. <https://doi.org/10.30898/1684-1719.2021.8.1>
10. Šipoš D., Gleich D. // Sensors. 2020. V. 20, No. 8. Art. no. 2234. <https://doi.org/10.3390/s20082234>
11. García Fernández M., Àlvarez-Narciandi G., Àlvarez-López Y., et al. // ISPRS J. Photogrammetry and Remote Sensing. 2022. V. 189. P. 128–142. <https://doi.org/10.1016/j.isprsjprs.2022.04.014>
12. Heinzel A., Schartel M., Burr R., et al. // Proc. SPIE 2019. V. 11003, Radar Sensor Technology XXIII. Art. no. 1100304. <https://doi.org/10.1117/12.2518587>
13. Hou J., Yan Y., Cong P., et al. // IOP Conf. Series: Earth and Environmental Science. 2021. V. 719. Art. no. 042074. <https://doi.org/10.1088/1755-1315/719/4/042074>

14. García Fernández M., Àlvarez-López Y., Las-Heras F., et al. // *Remote Sensing*. 2019. V. 11, No. 20. Art. no. 2357. <https://doi.org/10.3390/rs11202357>
15. Ludeno G., Catapano I., Rengab A., et al. // *Rem. Sens. of Envir.* 2018. V. 212. P. 90–102. <https://doi.org/10.1016/j.rse.2018.04.040>
16. Fasano G., Catapano I., Rengab A., et al. // *Intern. Conf. Unmanned Aircraft Systems (ICUAS)*. 13–16 June 2017, Miami, USA. P. 1316–1323. <https://doi.org/10.1109/ICUAS.2017.7991432>
17. Yarlequé M. A., Alvarez S., Martínez H. J., et al. // *Int. Conf. Electr. Adv. Appl.* 2017. 11–15 September 2017, Verona, Italy. P. 1646–1648. <https://doi.org/10.1109/ICEAA.2017.8065606>
18. Burr R., Schartel M., Schmidt P., et al. // *IEEE MTT-S Int. Conf. Micr. Int. Mob.* 2018. 15–17 April 2018, Munich, Germany. <https://doi.org/10.1109/ICMIM.2018.8443526>
19. Merli F., Zurcher J.-F., Freni A., Skrivervik A. K. // *IEEE Trans. Ant. Prop.* 2009. V. 57, No. 11. P. 3458–3466. <https://doi.org/10.1109/TAP.2009.2027140>
20. Khaleghi A., Farahani H. S., Balasingham I. // *IEEE Ant. Wir. Prop. Lett.* 2011. V. 10. P. 967–970. <https://doi.org/10.1109/LAWP.2011.2167735>
21. Sörgel W., Wiesbeck W. // *EURASIP J. Applied Signal Proc.* 2005. V. 3. P. 296–305. <https://doi.org/10.1155/ASP.2005.296>
22. Драбкин А. Л., Зузенко В. Л., Кислов А. Г. Антенно-фидерные устройства. М. : Сов. радио, 1974. 536 с.
23. Финкельштейн М. И., Карпухин В. И., Кутев В. А., Метелкин В. Н. Подповерхностная радиолокация. М. : Радио и связь, 1994. 216 с.
24. Daniels D. J. *Ground penetrating radar*. London : The Institution of Electrical Engineers, 2004. 761 p.
25. Rulikowski P., Barrett J. // *IEEE Micr. Wir. Comp. Lett.* 2008. V. 18, No. 5. P. 356–358. <https://doi.org/10.1109/LMWC.2008.922131>
26. García Fernández M., Àlvarez-López Y., de Mitri A., et al. // *Remote Sensing*. 2020. V. 12, No. 11. Art. no. 1833. <https://doi.org/10.3390/rs12111833>
27. Robinson L. A., Weir W. B., Young L., et al. // *Proc. IEEE*. 1974. V. 62, No. 1. P. 36–44. <https://doi.org/10.1109/PROC.1974.9383>
28. Финкельштейн М. И., Кутев В. А. // *Радиотехника и электроника*. 1972. № 10. С. 2107–2112.
29. Mikhnev V. A., Vainikainen P. // *IEEE Trans. Geos. Rem. Sens.* 2003. V. 41. No. 1. P. 75–80. <https://doi.org/10.1109/TGRS.2002.808060>
30. Lambot S., Slob E. C., van den Bosch I., et al. // *IEEE Trans. Geos. Rem. Sens.* 2004. V. 42, No. 11. P. 2555–2568. <https://doi.org/10.1109/TGRS.2004.834800>
31. Tsang L., Kong J. A., Ding K.-H. *Scattering of electromagnetic waves: theories and applications*. Hoboken : John Wiley & Sons, Inc., 2001. V. 1. 440 p.
32. Марков Г. Т., Чаплин А. Ф. Воздействие электромагнитных волн. М. : Радио и связь, 1983. 296 с.
33. Kee C. Y., Wang C. // *IEEE Int. Symp. Ant. Prop. & USNC/URSI Nat. Rad. Sci. Meet.* 9–14 July 2017, San Diego, USA. P. 1357–358. <https://doi.org/10.1109/APUSNCURSINRSM.2017.8072721>
34. Вайнштейн Л. А., Зубаков В. Д. Выделение сигналов на фоне случайных помех. М. : Сов. радио, 1960. 497 с.
35. Harris F. J. // *Proc. IEEE*. 1978. V. 66. No. 1. P. 51–83. doi: 10.1109/PROC.1978.10837.
36. Абрамович М., Стиган И. Справочник по специальным функциям. М. : Наука, 1979. 832 с.
37. Mironov V. L., Molostov I. P., Lukin Y. I., Karavaisky A. Y. // *Intern. Siberian Conf. Control and Communications (SIBCON)*. 12–13 September 2013, Красноярск, Россия. <https://doi.org/10.1109/SIBCON.2013.6693609>

38. [https://planarchel.ru/catalog/analizatory\\_tsepey\\_vektornye/vektornye\\_reflektometry\\_serii\\_caban/reflektometr-vektornyy-caban-r60/](https://planarchel.ru/catalog/analizatory_tsepey_vektornye/vektornye_reflektometry_serii_caban/reflektometr-vektornyy-caban-r60/)

Поступила в редакцию 11 апреля 2022 г.; принята в печать 31 августа 2022 г.

## SYNTHESIS OF AN ULTRA-WIDEBAND PULSE BY A LOG-PERIODIC ANTENNA WITH CONTINUOUS EXCITATION BY HARMONIC OSCILLATIONS

*K. V. Muzalevsky*

We propose a method for synthesizing ultra-wideband pulses using the vector analyzer of networks and a wideband transceiver log-periodic antenna. The transfer characteristic of the antenna-feeder transmission line of the system is described by a model of the four-pole network whose matrix S-elements were calibrated at at least two altitudes of the antenna location above the reflecting surface (metal sheet). The proposed method of calibrating the transfer characteristic of a log-periodic antenna allows one to minimize the amplitude- and phase-frequency distortions, which are introduced to the sensing pulse by the antenna. Using the developed method, we experimentally demonstrate a possibility of synthesizing an ultra-wideband pulse with a duration of 0.46 ns for the level of half an amplitude of the envelope (a pulse contains several field oscillations) using a log-periodic antenna with the transmission band from 1.36 to 4.88 GHz (for the level –10 dB). This method is specially developed for creating miniature radar systems using portable vector analyzers of networks and log-periodic antennas for the applications of remote sensing of an underlying surface from onboard small-size unmanned flying vehicles.